



The image features a background of particle tracks on the left and a particle spectrum diagram on the right. The tracks show various particle paths, some forming spirals. The spectrum diagram plots particle mass against a quantum number, with several particles labeled:  $\pi^-$  (5),  $p$  (6),  $\Lambda^0$ ,  $K^+$ ,  $\gamma_2$  (8),  $\pi^-$  (4),  $\Omega^-$  (3), and  $K^-$  (1). A blue horizontal bar is overlaid on the tracks, and a yellow rectangular box is overlaid on the spectrum diagram.

# Aufbau der Hadronen aus Quarks

Henning Gast

Betreuer: Prof. G. Flügge

Wintersemester 2002/03

# Übersicht

1. Einführung
2. Einige Begriffe aus der Gruppentheorie  
Liegruppen – Die Gruppen  $SU(n)$  – Anwendung: Spin und  $SU(2)$
3. Quantenzahlen von Elementarteilchen  
Isospin – Parität – Strangeness – Hyperladung
4. Die  $SU(3)$ -Gruppe und das Quarkmodell der Hadronen  
Fundamentale Darstellungen der  $SU(3)$  – Mesonen und Baryonen –  
Brechung der Symmetrie und Massenbeziehung – Farben der Quarks
5. Die Entdeckung des  $\Omega^-$ -Teilchens
6. Die Entdeckung der charm- und bottom-Quarks

# Einführung: Historischer Abriss

- Zu Beginn des letzten Jahrhunderts waren zwei elementare Teilchen bekannt: Elektron und Proton
- 1932 Entdeckung von Neutron und Positron
- 1946 Nachweis des Pions in der kosmischen Strahlung
- Entwicklung immer stärkerer Teilchenbeschleuniger führt zur Entdeckung der  $\Lambda$ -,  $\Sigma$ - und  $\Xi$ -Hyperonen.
- 1964 Teilchenzoo umfasst bereits über 100 Elementarteilchen
  
- Einteilung zunächst nach Masse in Leptonen, Mesonen und Baryonen
- Mesonen und Baryonen bilden zusammen die Gruppe der **Hadronen**.
- Leptonen nehmen nur an schwacher und elektromagnetischer Wechselwirkung teil, Hadronen auch an der starken.

Das von Gell-Mann und Zweig vorgeschlagene Quarkmodell bringt Ordnung in die Vielzahl von Teilchen und enthält den Schlüssel zur inneren Struktur der Hadronen.

# Einführung: Tabelle der Elementarteilchen

Name	Symbol	$m/MeV$	$\tau/s$	$Q$	$J^P$	$I$	$I_3$	$S$
Mesonen								
Pion	$\pi^\pm$	139,6	$2,6 \cdot 10^{-8}$	$\pm 1$	$0^-$	1	$\pm 1$	0
	$\pi^0$	135,0	$8,4 \cdot 10^{-17}$	0	$0^-$	1	0	0
Kaon	$K^\pm$	493,6	$1,24 \cdot 10^{-8}$	$\pm 1$	$0^-$	$\frac{1}{2}$	$\pm \frac{1}{2}$	$\pm 1$
	$K_s^0$	497,7	$0,89 \cdot 10^{-10}$	0	$0^-$	$\frac{1}{2}$	$-\frac{1}{2}$	1
	$K_L^0$	497,7	$5,17 \cdot 10^{-8}$	0	$0^-$	$\frac{1}{2}$	$-\frac{1}{2}$	1
Eta	$\eta$	548,8	$6,09 \cdot 10^{-19}$	0	$0^-$	0	0	0
Baryonen								
Nukleon	$p$	938,27	$> 10^{39}$	+1	$\frac{1}{2}^+$	$\frac{1}{2}$	$+\frac{1}{2}$	0
	$n$	939,57	888,6	0	$\frac{1}{2}^+$	$\frac{1}{2}$	$-\frac{1}{2}$	0
Hyperonen	$\Lambda$	1115,6	$2,63 \cdot 10^{-10}$	0	$\frac{1}{2}^+$	0	0	-1
	$\Sigma^+$	1189,4	$8,0 \cdot 10^{-11}$	+1	$\frac{1}{2}^+$	1	+1	-1
	$\Sigma^0$	1192,5	$7,4 \cdot 10^{-20}$	0	$\frac{1}{2}^+$	1	0	-1
	$\Sigma^-$	1197,4	$1,48 \cdot 10^{-10}$	-1	$\frac{1}{2}^+$	1	-1	-1
	$\Xi^0$	1314,9	$2,90 \cdot 10^{-10}$	0	$\frac{1}{2}^+$	$\frac{1}{2}$	$+\frac{1}{2}$	-2
	$\Xi^-$	1321,3	$1,64 \cdot 10^{-10}$	-1	$\frac{1}{2}^+$	$\frac{1}{2}$	$-\frac{1}{2}$	-2
	$\Omega^-$	1672,43	$8,22 \cdot 10^{-11}$	-1	$\frac{3}{2}^+$	0	0	-3

Tabelle 1: Eigenschaften einiger Elementarteilchen

# Gruppentheorie: Liegruppen

**Motivation:** Quarkmodell macht sich innere Symmetrien der Natur zu Nutze.  
Mathematische Beschreibung von Symmetrien im Rahmen der Gruppentheorie.

- Wir betrachten Gruppen  $G$ , deren Elemente durch einen Satz kontinuierlicher Parameter  $\alpha$  dargestellt werden können:  $g(\alpha) = g \in G$
- Außerdem sollen die Gruppenelemente in der Nähe des Einselementes  $g(0) := 1$  analytisch von den Parametern abhängen.

- Dann ist Entwicklung möglich:

$$g(\delta\alpha) = 1 + i\delta\alpha^a T^a + O(\delta\alpha^2)$$

- Dabei sind die  $T^a$  die **Generatoren** der Gruppe:

$$T^a = -i \left. \frac{\partial g(\alpha)}{\partial \alpha^a} \right|_{\alpha=0}$$

- Unter den obigen Voraussetzungen kann man zeigen:  $[T^a, T^b] = if^{abc} T^c$   
mit den **Strukturkonstanten**  $f^{abc}$
- Mit dieser Beziehung heißt der von den  $\{T^a\}$  aufgespannte Vektorraum eine **Lie-Algebra**.

## Gruppentheorie: Liegruppen (2)

- Rekonstruktion eines Gruppenelementes  $g(\alpha)$  mit nicht-infinitesimalem  $\alpha$  unter Benutzung der Abgeschlossenheit:  
Ausgehend vom Einselement  $n$  infinitesimale Schritte  $\delta\alpha = \alpha/n$  :

$$g(\alpha) = g\left(\frac{\alpha}{n}\right) g\left(\frac{\alpha}{n}\right) \dots g\left(\frac{\alpha}{n}\right) = \left(g\left(\frac{\alpha}{n}\right)\right)^n = \left(1 + i \frac{1}{n} \alpha^a T^a\right)^n$$

- Daraus folgt für  $n \rightarrow \infty$

$$g(\alpha) = e^{i\alpha^a T^a}$$

# Gruppentheorie: Die Gruppen $SU(n)$

- Wir spezialisieren auf den Fall der Gruppen

$$SU(n) \equiv \{U \in \mathbf{C}^{n \times n} \mid U^+U = 1 \wedge \det U = 1\}$$

- Generation der Elemente: Ist  $H$  hermitesche  $n \times n$ -Matrix, so gilt

$$U = e^{iH} \Rightarrow U^+U = 1$$

- Für  $\det U = 1$  muss  $H$  spurfrei sein:

$$H = H^+ \Rightarrow \det U = \det e^{iH} = \dots = e^{i\text{Sp}H}$$

- Anzahl der reellen Parameter einer hermiteschen, spurfreien  $n \times n$ -Matrix:

- je zwei für jeden Eintrag oberhalb der Diagonalen
- je einen für jeden Eintrag auf der Diagonalen
- letzter Eintrag auf der Diagonalen durch Spurfreiheit festgelegt

$$\sum_{k=1}^{n-1} 2k + n - 1 = 2 \frac{n(n-1)}{2} + n - 1 = n^2 - 1$$

Wir haben also mit  $n^2 - 1$  linear unabhängigen, hermiteschen und spurfreien  $n \times n$ -Matrizen einen Satz von Generatoren der  $SU(n)$  zur Hand.

# Anwendung: Spin und $SU(2)$

**Motivation:** Die anhand dieses einfachen Beispiels gezeigten Begriffe werden später leicht auf das Quarkmodell und die  $SU(3)$  übertragen.

- Aus dem eben gezeigten folgt, dass die Pauli-Matrizen ein Satz von Generatoren der  $SU(2)$  sind.

$$\sigma_1 = \begin{pmatrix} 0 & 1 \\ 1 & 0 \end{pmatrix} \quad \sigma_2 = \begin{pmatrix} 0 & -i \\ i & 0 \end{pmatrix} \quad \sigma_3 = \begin{pmatrix} 1 & 0 \\ 0 & -1 \end{pmatrix}$$

- Auffassung der Pauli-Matrizen als Operatoren auf dem Vektorraum  $\mathbb{C}^2$  mit  $\left( \begin{pmatrix} 1 \\ 0 \end{pmatrix}, \begin{pmatrix} 0 \\ 1 \end{pmatrix} \right)$  als Basis aus Eigenvektoren von  $\sigma_3$  dieses Raums
- Allgemein bekannt: Beschreibung eines Teilchens mit Spin  $S = \frac{\sigma}{2} = \frac{1}{2}$  durch Linearkombination der Zustände

$$|S = \frac{1}{2}, m_s = +\frac{1}{2}\rangle \equiv |\uparrow\rangle \equiv \begin{pmatrix} 1 \\ 0 \end{pmatrix} \quad \text{und} \quad |S = \frac{1}{2}, m_s = -\frac{1}{2}\rangle \equiv |\downarrow\rangle \equiv \begin{pmatrix} 0 \\ 1 \end{pmatrix}$$

- Mit  $\sigma_{1/2}$  Definition von Leiteroperatoren:  $S_+ |\uparrow\rangle = 0 \quad S_- |\uparrow\rangle = |\downarrow\rangle$   
 $S_- |\downarrow\rangle = |\uparrow\rangle \quad S_+ |\downarrow\rangle = 0$   
 $S_{\pm} = S_1 \pm iS_2$



## Fortsetzung: Spin und $SU(2)$

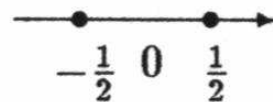
- Zwei wichtige Definitionen:

**Darstellung:** Gruppenhomomorphismus  $D: G \rightarrow K^{n \times n}$ ,  $K$  Körper

**Multiplett:** Basis von Zuständen, die einen irreduziblen Unterraum des (Hilbert-) Raumes aufspannen, der invariant unter Anwendung der Operatoren einer Darstellung der betrachteten Symmetriegruppe ist.

**Beispiel:** Die Pauli-Matrizen als (fundamentale) Darstellung der  $SU(2)$ , die auf dem zugehörigen Multiplett  $\{|\uparrow\rangle, |\downarrow\rangle\}$  wirken. (hier: Dublett)

Grafische Anschauung auf der  $m_S$ -Achse:



Im folgenden werden wir uns stets vor allem für die Multipletts interessieren, auf denen bestimmte Darstellungen wirken.

# Spin und $SU(2)$ : Kopplung von Darstellungen

- Aus der Quantenmechanik bekannt: Kopplung zweier Spin  $\frac{1}{2}$  - Drehimpulse zu Gesamtspin  $S=1$  mit  $m_S \in \{+1,0,-1\}$  (Triplett) oder  $S=0$  mit  $m_S \in \{0\}$  (Singulett):

$$|S=1, m_S=+1\rangle = |\uparrow\uparrow\rangle \quad |S=1, m_S=0\rangle = \frac{1}{\sqrt{2}} (|\uparrow\downarrow\rangle + |\downarrow\uparrow\rangle) \quad |S=1, m_S=-1\rangle = |\downarrow\downarrow\rangle$$

$$|S=0, m_S=0\rangle = \frac{1}{\sqrt{2}} (|\uparrow\downarrow\rangle - |\downarrow\uparrow\rangle)$$

- Zerlegung auf grafischem Wege:

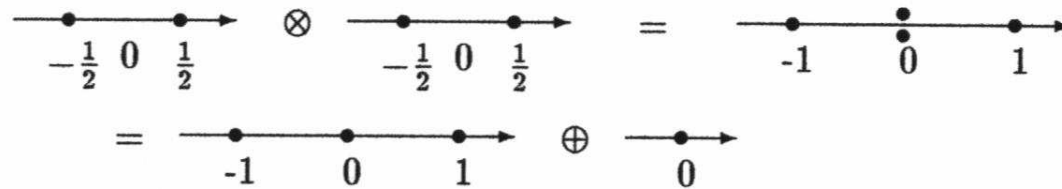


Abbildung 2: Kopplung zweier Spin  $\frac{1}{2}$ -Darstellungen

- Dafür schreibt man:

$$[2] \otimes [2] = [3] \oplus [1]$$

# Quantenzahlen von Elementarteilchen: Isospin

- Analogie: Auf ein Elektron in einem elektrischen Feld wirkt die gleiche Kraft, egal ob es im Zustand  $|\uparrow\rangle$  oder  $|\downarrow\rangle$  ist.  
→ Symmetrie der elektromagnetischen Wechselwirkung
- Blick auf Tabelle der Elementarteilchen: Proton und Neutron haben nahezu identische Massen  
→ Symmetrie der starken Wechselwirkung: keine Unterscheidung zwischen diesen beiden Teilchen; erst durch elektrische Ladung
- Deshalb: Auffassung von Proton und Neutron als zwei Zustände desselben Teilchens, genannt Nukleon.
- Erfassung dieser Symmetrie durch neue Quantenzahl **Isospin  $I$**
- In Analogie zum Spin: Nukleon hat  $I = \frac{1}{2}$  und Proton und Neutron bilden ein Isospindublett:

$$|p\rangle \equiv |I = \frac{1}{2}, I_3 = +\frac{1}{2}\rangle \quad |n\rangle \equiv |I = \frac{1}{2}, I_3 = -\frac{1}{2}\rangle$$

## Quantenzahlen von Elementarteilchen: Isospin (2)

- In Analogie zum Spin:
  - $I$  kann ganz- oder halbzahlige Werte annehmen
  - $I^2$  und  $I_3$  sind simultan diagonalisierbar
  - $I_3$  kann die Werte  $-I, -I+1, \dots, I-1, I$  annehmen
  - Vertauschungsrelation  $[I_i, I_j] = i\epsilon_{ijk}I_k$
- Erneuter Blick auf die Tabelle: Die drei Pionen sind fast gleich schwer. Daher: Auffassung als drei Zustände des Teilchens „Pion“ mit  $I = 1$ .  
Triplet:  $|\pi^+\rangle \equiv |I=1, I_3=+1\rangle$   $|\pi^0\rangle \equiv |I=1, I_3=0\rangle$   $|\pi^-\rangle \equiv |I=1, I_3=-1\rangle$
- Definition der **Baryonenzahl  $B$** :
  - Mesonen haben  $B = 0$
  - Baryonen haben  $B = 1$  (Antibaryonen haben  $B = -1$ )
- Dies erlaubt Rekonstruktion der Ladung eines Zustands aus der dritten Komponente seines Isospins: 
$$Q = e\left(I_3 + \frac{B}{2}\right)$$

Zusammenfassung „verwandter“ Teilchen zu Isospinmultipletts

## Quantenzahlen von Elementarteilchen: Parität

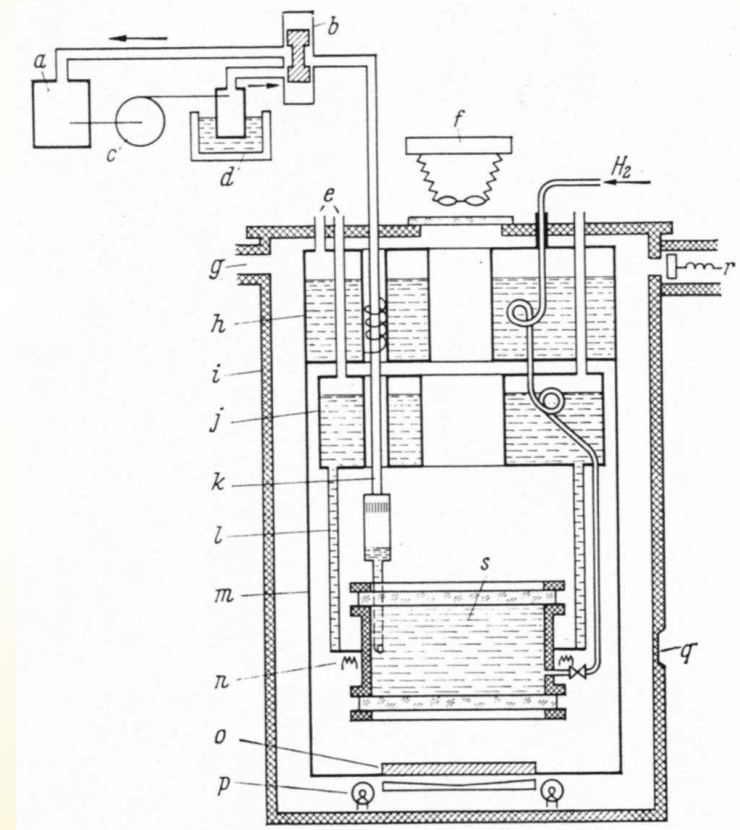
- **Paritätsoperator**  $P$  spiegelt die räumlich Koordinaten:  $P|\vec{r}\rangle = |-\vec{r}\rangle$
- Zum Beispiel gilt für die Kugelfunktionen:

$$PY_l^m(\theta, \varphi) = (-1)^l Y_l^m(\theta, \varphi)$$

- Aus der Definition von  $P$  folgt  $P^2=1$ , also kann  $P$  nur die EW  $\pm 1$  haben.
- Wenn das Verhalten eines Systems invariant unter Raumspiegelung ist, dann vertauscht sein Hamiltonoperator  $H$  mit  $P$ :  $[H,P]=0$
- QM: Zustände werden durch unitäre Operatoren transformiert, also sollte  $P$  unitär und somit auch hermitesch sein, dann ist aber  $P$  eine Messgröße.
- Also: Parität ist intrinsische Eigenschaft eines Teilchens.
- Konvention: Parität +1 für Protonen und Neutronen.
- $P$  ist multiplikative Quantenzahl, erhalten von starker und elektromagnetischer, verletzt von schwacher Wechselwirkung.

# Historischer Exkurs: Blasenkammern

- 1952 von Glaser erfunden; über Jahrzehnte eines der wichtigsten Instrumente der Teilchenphysik.
- Flüssigkeit der Temperatur  $T$ , zum Beispiel Wasserstoff, wird in einem Gefäß dicht unter dem Siedepunkt gehalten, d.h. Druck  $p$  knapp über dem Dampfdruck  $p_s(T)$ .
- Zuvor beschleunigte Teilchen treten durch ein dünnes Metallfenster ein.
- Wasserstoff wird periodisch durch einen Kolben expandiert, wodurch er überhitzt wird, aber:
- Kondensationskeime zur Gasblasenbildung nötig; diese werden durch Ionisation von den durchfliegenden Teilchen geliefert.
- Nach ca. 10 ms Bläschenwachstum: Beleuchtung und Foto in Stereo.

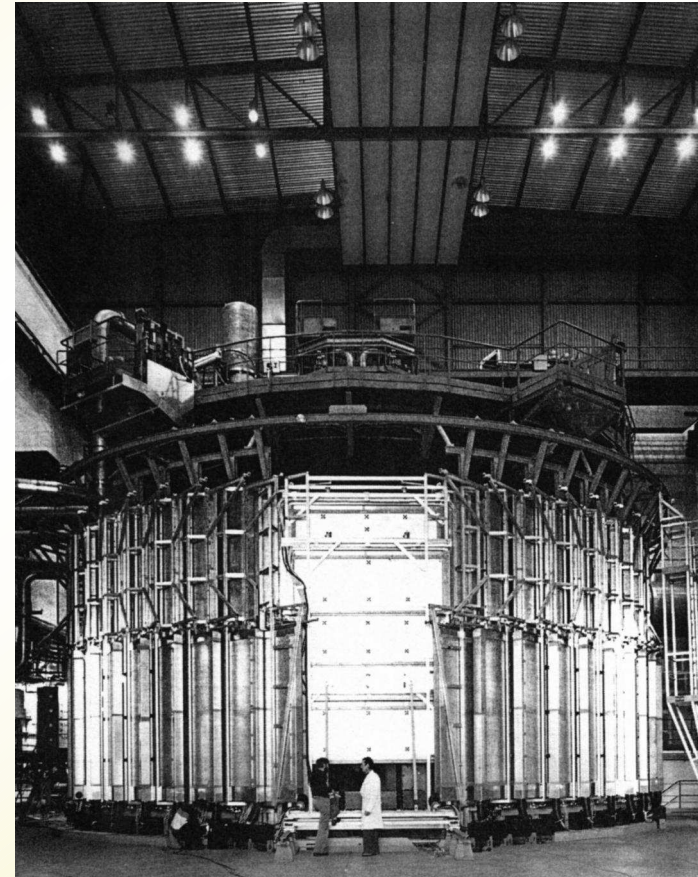


Schematischer Aufbau einer Blasenkammer

## Blasenkammern (2)

Geladene Teilchen erzeugen in der Blasenkammer also Spuren.

- Homogenes Magnetfeld  $\rightarrow$  Impuls der Teilchen aus Bahnkrümmung
- Bläschendichte  $\rightarrow$  Energie des Teilchens
- Ausmessung der Bahn liefert Energie und Impuls  $\rightarrow$  Masse des Teilchens

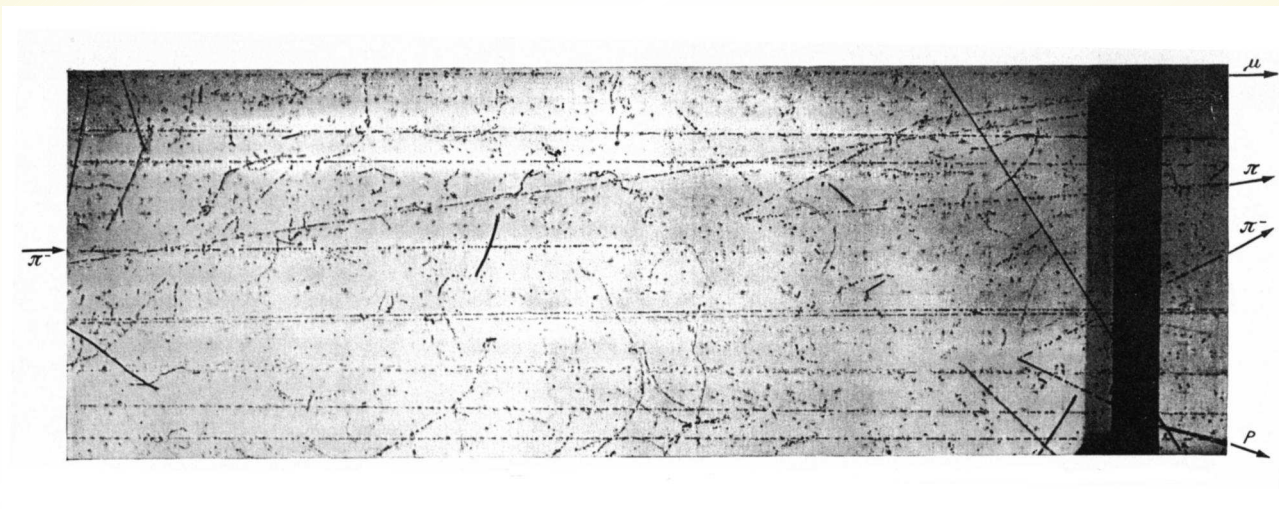


Big European Bubble Chamber (BEBC) am CERN

# Quantenzahlen von Elementarteilchen: Strangeness

- Ende der 40er Jahre: Entdeckung von Teilchen ( $K_s^0$ ,  $\Lambda$ ) mit ungewöhnlichem Verhalten in der kosmischen Strahlung:
  - Erzeugung stets paarweise zusammen
  - Zerfall in Hadronen gemäß  $K_s^0 \rightarrow \pi^+ + \pi^-$ ,  $\Lambda \rightarrow \pi^- + p$  mit extrem langen Lebensdauern der Größenordnung  $10^{-10}$  s (typisch für starke oder elektromagnetische Zerfälle:  $10^{-23}$  s bzw.  $10^{-18}$  s)

$$\text{Bsp.: } \pi^- + p \rightarrow K^0 + \Lambda$$



$$K^0 \rightarrow \pi + \pi$$

$$\pi \rightarrow \mu + \bar{\nu}_\mu$$

$$\Lambda \rightarrow p + \pi^-$$



## Quantenzahlen von Elementarteilchen: Strangeness (2)

- Daher muss es eine weitere Quantenzahl geben, die **Strangeness  $S$** .
- Additiv
- Erhalten von von starker und elektromagnetischer, verletzt von schwacher Wechselwirkung.
- Auswahlregel  $\Delta S = \pm 1$  für schwache Zerfälle.

## Quantenzahlen von Elementarteilchen: Hyperladung

- Abermaliger Blick auf die Tabelle der Elementarteilchen:
  - Die drei  $\Sigma$ -Teilchen bilden ein Triplet ( $I = 1$ ).
  - Die beiden  $\Xi$ -Teilchen bilden ein Dublett ( $I = \frac{1}{2}$ ).
- Um aber für diese Teilchen die korrekte Ladung zu erhalten, müssen wir die Strangeness in die letzte Formel einbeziehen und erhalten die

### Gell-Mann-Nishijima-Relation

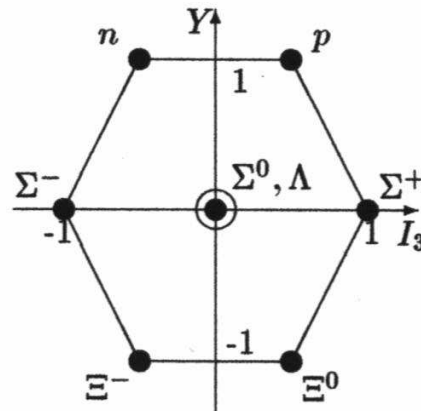
$$Q = e \left( I_3 + \frac{B + S}{2} \right)$$

- Wir definieren die neue Quantenzahl **Hyperladung**
$$Y = B + S$$
- Sie kommt offenbar gleichberechtigt mit  $I_3$  in der GMN-Relation vor.

**Jetzt: Kombination von Isospin und Hyperladung, um Ordnung in den Teilchenzoo zu bringen; mit zugrunde liegender  $SU(3)$ -Symmetrie.**

# Vorschau

- Beispiel:  
Zusammenfassung der leichtesten Baryonen  $p$ ,  $n$ ,  $\Sigma$ ,  $\Xi$  und  $\Lambda$  mit Spin-Parität  $J^P = \frac{1}{2}^+$  und Massen der Größenordnung  $m = O(1000 \text{ MeV})$  zu einem Oktett in der  $I_3$ - $Y$ -Ebene:



## Die $SU(3)$ -Gruppe und das Quarkmodell der Hadronen

### Fundamentale Darstellungen der $SU(3)$

- Wie gesehen, besteht ein Satz von Generatoren der  $SU(3)$  aus acht linear unabhängigen, hermiteschen und spurfreien  $3 \times 3$ -Matrizen:

$$\lambda_1 = \begin{pmatrix} 0 & 1 & 0 \\ 1 & 0 & 0 \\ 0 & 0 & 0 \end{pmatrix} \quad \lambda_2 = \begin{pmatrix} 0 & -i & 0 \\ i & 0 & 0 \\ 0 & 0 & 0 \end{pmatrix} \quad \lambda_4 = \begin{pmatrix} 0 & 0 & 1 \\ 0 & 0 & 0 \\ 1 & 0 & 0 \end{pmatrix}$$

$$\lambda_5 = \begin{pmatrix} 0 & 0 & -i \\ 0 & 0 & 0 \\ i & 0 & 0 \end{pmatrix} \quad \lambda_6 = \begin{pmatrix} 0 & 0 & 0 \\ 0 & 0 & 1 \\ 0 & 1 & 0 \end{pmatrix} \quad \lambda_7 = \begin{pmatrix} 0 & 0 & 0 \\ 0 & 0 & -i \\ 0 & i & 0 \end{pmatrix}$$

$$\lambda_3 = \begin{pmatrix} 1 & 0 & 0 \\ 0 & -1 & 0 \\ 0 & 0 & 0 \end{pmatrix} \quad \lambda_8 = \sqrt{\frac{1}{3}} \begin{pmatrix} 1 & 0 & 0 \\ 0 & 1 & 0 \\ 0 & 0 & -2 \end{pmatrix}$$

- Im Grunde sind dies verallgemeinerte Pauli-Matrizen.

## Die $SU(3)$ -Gruppe und das Quarkmodell der Hadronen

### Fundamentale Darstellungen der $SU(3)$ : Schiebeoperatoren

- In Analogie zur  $SU(2)$  ( $s_i = \frac{\sigma_i}{2}$ ) definieren wir  $F_i = \frac{\lambda_i}{2}$  und damit drei Sätze von Leiteroperatoren

$$I_{\pm} = F_1 \pm iF_2 \quad V_{\pm} = F_4 \pm iF_5 \quad U_{\pm} = F_6 \pm iF_7$$

sowie die beiden Diagonaloperatoren

$$I_3 = F_3 \quad \text{und} \quad Y = \frac{2}{\sqrt{3}} F_8$$

- Wegen  $[Y, I_3] = 0$  existieren gemeinsame Eigenzustände  $|I_3, Y\rangle$ , so dass

$$\hat{I}_3 |I_3, Y\rangle = I_3 |I_3, Y\rangle \quad \hat{Y} |I_3, Y\rangle = Y |I_3, Y\rangle$$

- Man kann leicht die Wirkung der Schiebeoperatoren berechnen:

$$V_{\pm} |I_3, Y\rangle \propto |I_3 \pm \frac{1}{2}, Y \pm 1\rangle$$

$$U_{\pm} |I_3, Y\rangle \propto |I_3 \mp \frac{1}{2}, Y \pm 1\rangle$$

$$I_{\pm} |I_3, Y\rangle \propto |I_3 \pm 1, Y\rangle$$

# Die $SU(3)$ -Gruppe und das Quarkmodell der Hadronen

## Fundamentale Darstellungen der $SU(3)$ : Die drei Quarks

- Um das erste der beiden nicht-trivialen fundamentalen Multipletts der  $SU(3)$  anzugeben, identifizieren wir die Eigenzustände von  $I_3$  und  $Y$ :

$$\begin{pmatrix} 1 \\ 0 \\ 0 \end{pmatrix} \equiv |u\rangle \quad \begin{pmatrix} 0 \\ 1 \\ 0 \end{pmatrix} \equiv |d\rangle \quad \begin{pmatrix} 0 \\ 0 \\ 1 \end{pmatrix} \equiv |s\rangle$$

- Wir nennen sie **up-Quark**, **down-Quark** und **strange-Quark**.
- Zum Beispiel ergibt sich für das up-Quark

$$I_3|u\rangle = \frac{\lambda_3}{2}|u\rangle = \frac{1}{2}|u\rangle \quad \text{und} \quad Y|u\rangle = \frac{2}{\sqrt{3}} \frac{1}{2} \lambda_8|u\rangle = +\frac{1}{3}|u\rangle$$

$$\text{und somit } Q|u\rangle = \left( I_3 + \frac{Y}{2} \right) |u\rangle = +\frac{2}{3}|u\rangle$$

- Zuordnung von  $B = 1/3$  für alle Quarks liefert dann folgende Werte:  
( $S = Y - B$ )

Quark	Spin	$B$	$Q$	$I_3$	$S$	$Y$
$u$	$1/2$	$1/3$	$2/3$	$1/2$	0	$1/3$
$d$	$1/2$	$1/3$	$-1/3$	$-1/2$	0	$1/3$
$s$	$1/2$	$1/3$	$-1/3$	0	-1	$-2/3$

# Die $SU(3)$ -Gruppe und das Quarkmodell der Hadronen

## Fundamentale Darstellungen der $SU(3)$ : Grafische Darstellung

- Die drei Quarks können in der  $Y$ - $I_3$ -Ebene grafisch veranschaulicht werden, die zugehörige Darstellung heißt  $[3]$ .
- Wir kennen die Wirkung der Schiebeoperatoren:
  - $U_{\pm}$  entlang der  $s$ - $d$ -Linie
  - $V_{\pm}$  entlang der  $s$ - $u$ -Linie
  - $I_{\pm}$  entlang der  $d$ - $u$ -Linie
- Experiment: Zu jedem Hadron existiert ein Antiteilchen, deshalb wird es auch Anti-Quarks geben:  $\bar{u}$ ,  $\bar{d}$  und  $\bar{s}$
- Ihre Quantenzahlen  $B$ ,  $Q$ ,  $I_3$ ,  $S$  und  $Y$  haben gerade das umgekehrte Vorzeichen.
- Sie bilden das Triplet, das zu der anderen fundamentalen Darstellung der  $SU(3)$  gehört, sie heißt  $[\bar{3}]$

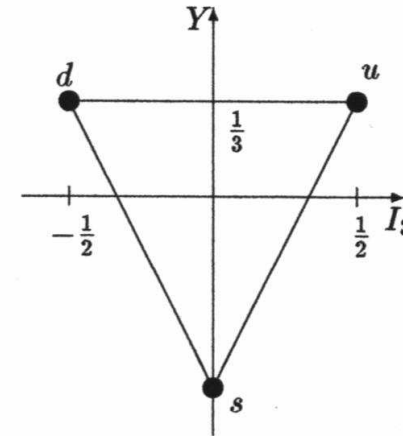


Abbildung 3: Die drei Quarks

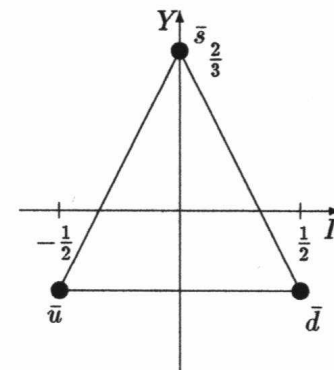


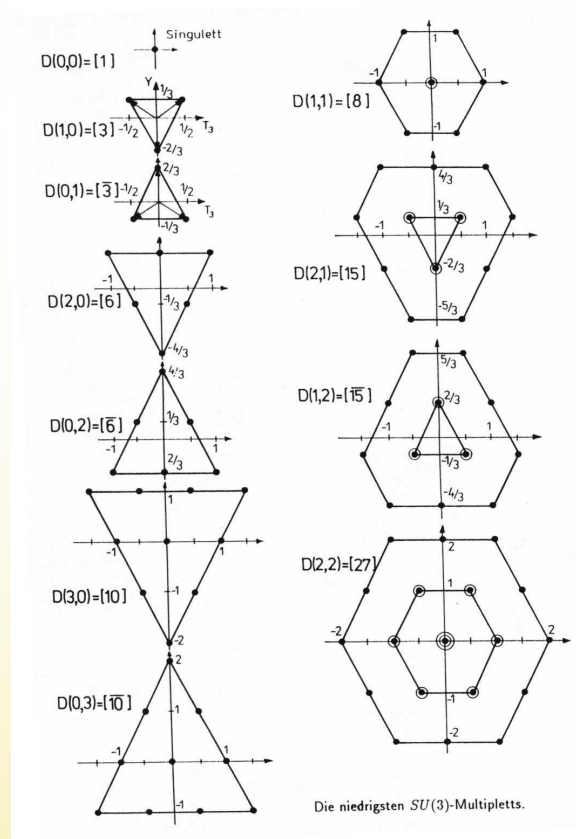
Abbildung 4: Die drei Anti-Quarks

# Die $SU(3)$ -Gruppe und das Quarkmodell der Hadronen

## Mesonen und Baryonen

**Ordnung im Teilchenzoo: Identifizierung der Teilchen als Zustände in höherdimensionalen Darstellungen der  $SU(3)$  und Zuordnung zu entsprechenden Multipletts.**

- Um Produkte der beiden fundamentalen Darstellungen in Summanden zerlegen zu können, benötigen wir die weiteren Darstellungen der  $SU(3)$ .
- Hier nur Verweis auf die Ergebnisse der Gruppentheorie.





# Die $SU(3)$ -Gruppe und das Quarkmodell der Hadronen

## Mesonen

- Wir betrachten Zustände aus einem Quark und einem Anti-Quark und erhalten:
 
$$[3] \otimes [\bar{3}] = [8] \oplus [1]$$

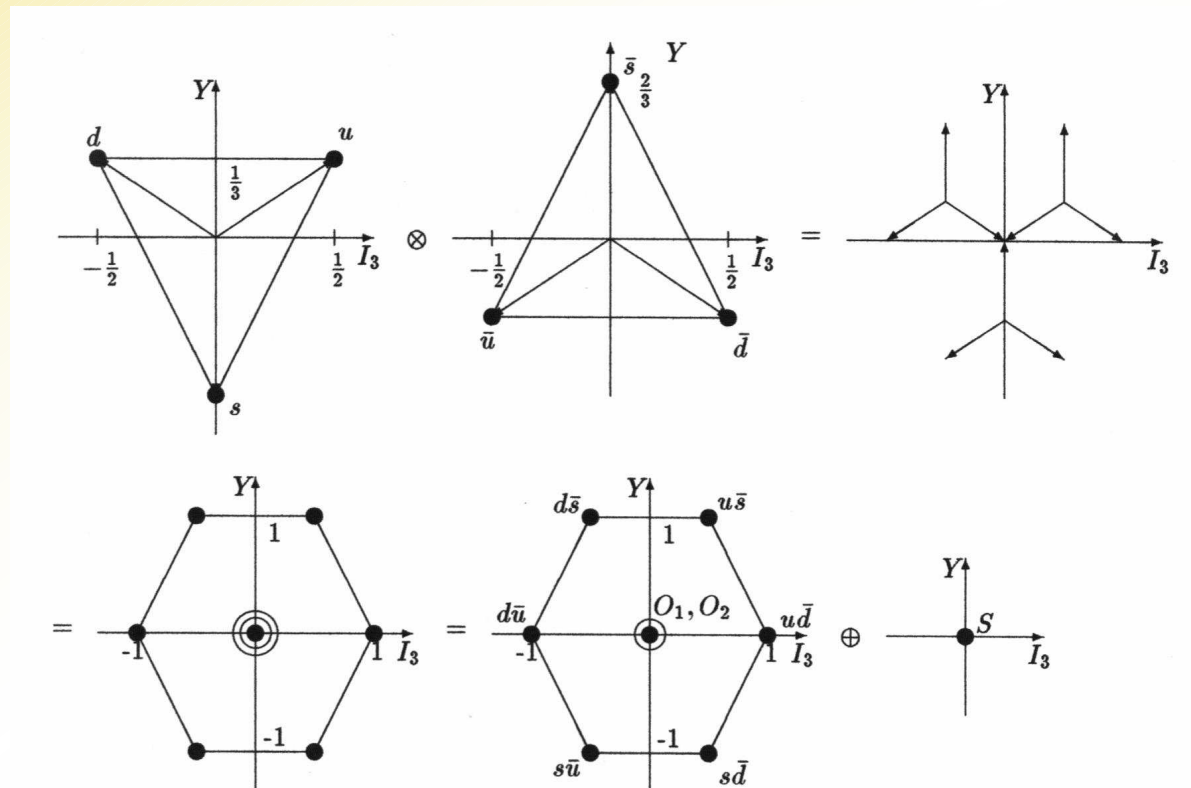


Abbildung 6: Ausreduktion des Produktes  $[3] \otimes [\bar{3}]$

# Die $SU(3)$ -Gruppe und das Quarkmodell der Hadronen

## Mesonen: Leichteste Zustände

- Man erhält die Zusammensetzung der Zustände gleich mit.
- Zustände im Zentrum:
  - Singulett symmetrisch in den Quarks:  $S = \frac{1}{\sqrt{3}}(|u\bar{u}\rangle + |d\bar{d}\rangle + |s\bar{s}\rangle)$
  - $O_1$  gehört zum Isospintriplett  $I = 1$ :  $O_1 = \frac{1}{\sqrt{2}}(|u\bar{u}\rangle - |d\bar{d}\rangle)$
  - $O_2$  ist orthogonal zu beiden:  $O_2 = \frac{1}{\sqrt{6}}(|u\bar{u}\rangle + |d\bar{d}\rangle - 2|s\bar{s}\rangle)$
- Wir ordnen allen diesen Zuständen in der Natur vorkommende Teilchen zu:
  - Pionen bilden das Isospintriplett mit  $Y = 0$
  - Kaonenduplett mit  $Y = 1$ :  $K^0 = |d\bar{s}\rangle$   $K^+ = |u\bar{s}\rangle$
  - Kaonenduplett mit  $Y = -1$ :  $K^- = |s\bar{u}\rangle$   $\bar{K}^0 = |s\bar{d}\rangle$
  - $\eta$ -Mesonen:  $O_2 \approx |\eta\rangle$   $S \approx |\eta'\rangle$
- Alle diese Teilchen haben Spin-Parität  $J^P=0^-$  und Massen von der Größenordnung 500 MeV, aber es ist immerhin  $m_K \approx 3m_\pi$

Die  $SU(3)$ -Symmetrie gilt also nicht exakt. ( $\rightarrow$  später)

## Die $SU(3)$ -Gruppe und das Quarkmodell der Hadronen

### Mesonen: Angeregte Zustände

- Neben diesen leichtesten Mesonen existieren „angeregte“ Zustände.
- Zunächst koppeln die beiden Spins der Quarks parallel ( $S = 1$ ) oder antiparallel ( $S = 0$ ) zum Gesamtspin  $S$ .
- $S$  koppelt mit Bahndrehimpuls  $L = 0, 1, 2, \dots$  zum Gesamtdrehimpuls  $J$ .
- Parität  $P = -(-1)^L$
- Beispiel: Nonett zu  $J^P = 1^-$  enthält  $\rho, K^*, \omega, \phi$  mit Massen von der Ordnung 800 MeV; Besonderheit: Mischung der zu Oktett und Singulett gehörenden Zentrumszustände, so dass

$$\phi \approx |s\bar{s}\rangle \quad \omega \approx \frac{1}{\sqrt{2}}(|u\bar{u}\rangle + |d\bar{d}\rangle)$$

- Das erklärt die beobachteten Zerfallskanäle:

$$\phi \rightarrow \begin{cases} K^+ K^- \\ K^0 \bar{K}^0 \\ \pi^+ \pi^- \pi^0 \end{cases} \begin{matrix} 84\% \\ \\ 15\% \end{matrix} \quad \omega \rightarrow \begin{cases} \pi^+ \pi^- \\ \pi^0 \gamma \\ \pi^+ \pi^- \pi^0 \end{cases} \begin{matrix} 10\% \\ \\ 90\% \end{matrix}$$

- Teilchen werden schwerer mit zunehmendem  $J$ .

**Bestätigung des Modells:** Bisher wurden keine Mesonen gefunden, die dieses Modell nicht erklären kann, zum Beispiel solche mit Quantenzahlen  $I = 3/2$  oder  $Y = 2$ .

## Die $SU(3)$ -Gruppe und das Quarkmodell der Hadronen

### Baryonen

- Wir untersuchen Zustände, die aus drei Quarks bestehen. Analoges Vorgehen wie eben liefert:  $[3] \otimes [3] = [6] \oplus [\bar{3}]$  und  $[6] \otimes [3] = [10] \oplus [8]$
- Damit erhalten wir:
 
$$[3] \otimes [3] \otimes [3] = ([6] \oplus [\bar{3}]) \otimes [3] = [6] \otimes [3] \oplus [\bar{3}] \otimes [3] = [10] \oplus [8] \oplus [8] \oplus [1]$$
- Wir können die leichtesten Baryonen  $p$ ,  $n$ ,  $\Sigma$ ,  $\Xi$  und  $\Lambda$  mit Spin-Parität  $J^P = 1/2^+$  und Massen der Ordnung  $m = O(1000 \text{ MeV})$  zu einem Oktett zusammen fassen:

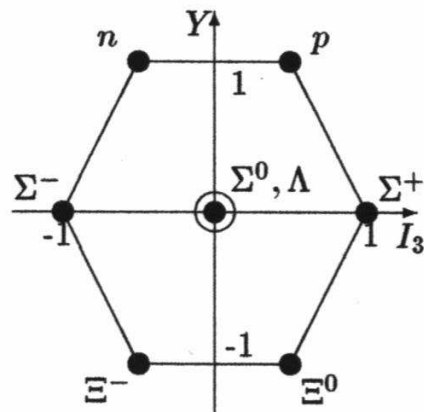


Abbildung 7: Das Oktett der leichtesten Baryonen

- Nukleonen: Isospin-Dublett mit  $Y = 1$
- $\Sigma$ -Teilchen: Triplet mit  $Y = 0$
- $\Xi$ -Teilchen: Dublett mit  $Y = -1$
- $\Lambda$ : Isospin-Singulett

# Die $SU(3)$ -Gruppe und das Quarkmodell der Hadronen

## Baryonen-Dekuplett

### Test des Modells (Anfang der 60er Jahre): Dekuplett [10] der Baryonen

- Neun der zehn Zustände konnten bekannte Teilchen mit  $J^P = 3/2^+$  zugeordnet werden:

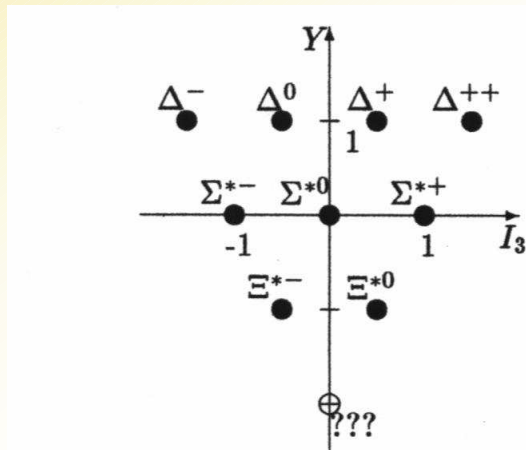


Abbildung 8: Das Dekuplett der Baryonen

- Isospin-Quartett der  $\Delta$ -Teilchen mit  $Y = 1$  und  $m_{\Delta} = 1232$  MeV
- Triplett der  $\Sigma^*$ -Teilchen mit  $Y = 0$  und  $m = 1384$  MeV
- Dublett der  $\Xi^*$ -Teilchen mit  $Y = -1$  und  $m = 1533$  MeV

- Spitze blieb zunächst frei: Deshalb Postulat eines neuen Teilchens  $\Omega^-$  mit  $J^P = 3/2^+$ ,  $B = 1$ ,  $I = 0$ ,  $Y = -2$ , also  $S = -3$ .
- Aus Massendifferenz zwischen den Isospinmultipletts ( $\Delta m \approx 150$  MeV) folgte man  $m_{\Omega} \approx 1680$  MeV.

## Die $SU(3)$ -Gruppe und das Quarkmodell der Hadronen

### Brechung der Symmetrie

Wäre die  $SU(3)$ -Symmetrie exakt erfüllt, hätten alle Teilchen eines Multipletts die gleiche Masse.

- Brechung der Symmetrie durch zwei Effekte:
  - Teilchen innerhalb eines Isospin-Multipletts unterscheiden sich in der Masse um einige MeV;  
Grund: unterschiedliche elektrische Ladungen, daher Anteil der Bindungsenergie aus elektromagnetischer WW verschieden
  - Zwischen den Isospin-Multipletts um zwei Ordnungen größere Massenaufspaltung; etwa 150 MeV beim Dekuplett, etwa 200 MeV beim Oktett, bei den Mesonen noch mehr  
Grund: starke WW; die einzelnen Multipletts unterscheiden sich durch die Strangeness der Teilchen
- Naheliegend:  $m_u \approx m_d =: m$  aber  $m_s > m$

## Die $SU(3)$ -Gruppe und das Quarkmodell der Hadronen

### Massenbeziehung

- Beispielhaft: Herleitung einer Massenbeziehung für das Baryonenoktett
- Annahme: Bindungsenergie  $W_B$  zwischen den Quarks bei all diesen Teilchen gleich.

Bei der Zerlegung des Produktes der Darstellungen erhält man die Zusammensetzung der Zustände gleich mit, z.B.  $|p\rangle = |uud\rangle$  oder

$|\Xi^0\rangle = |uss\rangle$ . Dann gilt:

$$m_N = 3m - W_B$$

$$m_\Sigma = 2m + m_s - W_B$$

$$m_\Lambda = 2m + m_s - W_B$$

$$m_\Xi = m + 2m_s - W_B$$

- Daraus folgt die Massenbeziehung

$$\frac{m_N + m_\Xi}{2} = \frac{3m_\Lambda + m_\Sigma}{4}$$

die experimentell erstaunlich gut erfüllt ist:

$$1128 = \frac{939 + 1318}{2} \approx \frac{3 \cdot 1116 + 1193}{4} = 1135 \quad [\text{MeV}]$$

# Die $SU(3)$ -Gruppe und das Quarkmodell der Hadronen

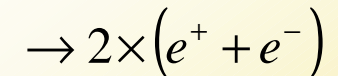
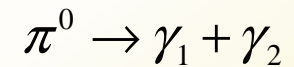
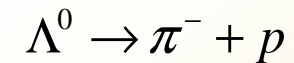
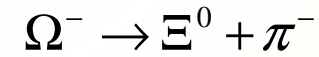
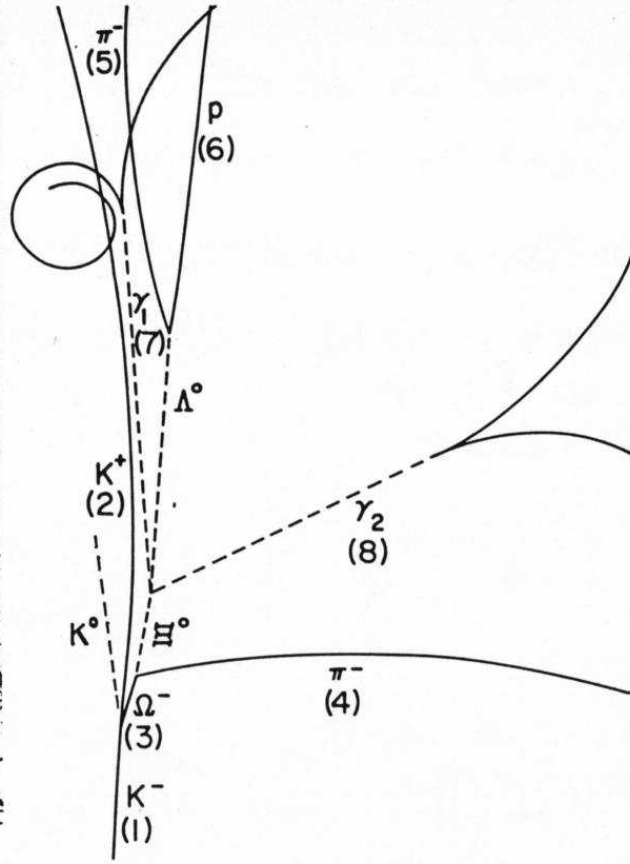
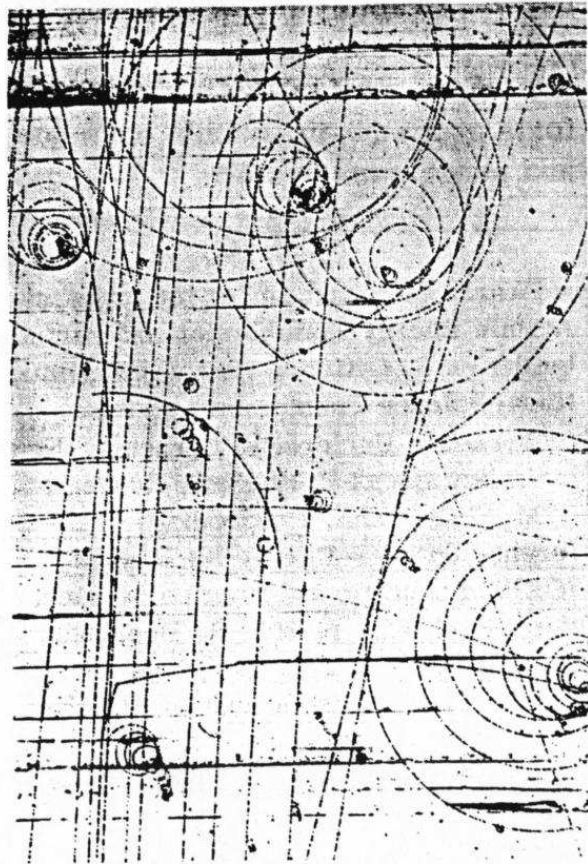
## Die Farben der Quarks

- Mindestens zwei **Probleme** im bis jetzt entwickelten Modell:
  - In der Natur nur Zustände der Form  $|q\bar{q}\rangle, |qqq\rangle$  oder  $|\bar{q}\bar{q}\bar{q}\rangle$  aber nicht zum Beispiel  $|qq\rangle$
  - Scheinbar Verletzung des Pauli-Prinzips durch das  $\Delta^{++}$ : Spin 3/2 nur erklärbar durch Wellenfunktion  $|\Delta^{++}\rangle = |uuu\rangle|\uparrow\uparrow\uparrow\rangle$  die symmetrisch unter Vertauschung zweier Quarks ist.
- Lösung: Weiterer innerer Freiheitsgrad der Quarks, die **Farbe** mit den Werten *rot r*, *grün g* oder *blau b*.
- Beschreibung des Farbmodells auch durch die  $SU(3)$ -Symmetrie.
- Insbesondere: Singulett-Zustand ist antisymmetrisch unter Vertauschung zweier Quarks:  $|1\rangle \equiv \frac{1}{\sqrt{6}}(|rgb\rangle - |rbg\rangle + |brg\rangle - |bgr\rangle + |gbr\rangle - |grb\rangle)$
- Forderung: Hadronen sind farblos  $\rightarrow$  Es können nur solche Produkte von Quarks gebildet werden, in deren Zerlegung in Summanden ein Singulett vorkommt: Nur  $[3] \otimes [\bar{3}]$ ,  $[3] \otimes [3] \otimes [3]$  und  $[\bar{3}] \otimes [\bar{3}] \otimes [\bar{3}]$ .



# Die Entdeckung des $\Omega^-$ -Teilchens

- Vorhersage des  $\Omega^-$  war Prüfstein für das Modell; Entdeckung 1964 am Brookhaven National Laboratory:
- Eine 80-Zoll-Wasserstoff-Blasenkammer wurde einem Strahl von 5 GeV- $K^-$ -Mesonen ausgesetzt, eines von etwa 100000 Fotos enthält das gesuchte Ereignis.



- Massenbestimmung jeweils aus Krümmungs- und Blasendichtenmessung
- Ergebnis für das  $\Omega^-$ :  $m_{\Omega} = 1686 \pm 12 \text{ MeV}$
- Aus der Länge der Spur: Lebensdauer des  $\Omega^-$  beträgt  $7 \cdot 10^{-11} \text{ s}$

## Weitere Indizien

- Aus kinematischen Überlegungen: Transversalimpuls der Spur (4) größer als der des negativen Zerfallsprodukts bei jedem anderen bekannten Zerfall eines negativen Teilchens, außer  $\Xi^- \rightarrow e^- + n + \nu$   
Aber:
  - Verletzt Auswahlregel  $\Delta S = \pm 1$
  - Erklärt nicht die beiden Paarerzeugungen
- Lebensdauer deutet auf schwachen Zerfall; hätte das Teilchen  $S = -1$ , so zerfiel es stark in etwa  $10^{-22}$  s in bekannte Teilchen

→ Identifizierung des Teilchens von Spur (3) als  $\Omega^-$

# Die Entdeckung des c-Quarks

- **Novemberrevolution:** Unabhängige Entdeckung eines neuen Teilchens  $J/\Psi(1S)$  durch zwei Gruppen, das nicht in das bisherige Ordnungsschema passte.
- Erzeugung zum Beispiel in Elektron-Positron-Collidern, und zwar bei einer Schwerpunktsenergie von 3097 MeV, der Ruhemasse des  $J/\Psi(1S)$ .

**Resonanz:** Scharfes Maximum im Wirkungsquerschnitt (z.B. bei  $e^+e^-$ -Stößen) bei einer bestimmten Schwerpunktsenergie.

Höhe: Maß für die Produktionsrate des neuen Teilchens

Breite: umgekehrt proportional zur Lebensdauer (Unschärferelation)

- Breite der Resonanz beim  $J/\Psi(1S)$  beträgt nur  $(77 \pm 5)\text{keV}$ , nicht vergleichbar mit ähnlichen Mesonen oberhalb der Masse des  $\phi$
- → Vorliegen eines neuartigen Zustandes **Charmonium**

$$|J/\Psi\rangle = |c\bar{c}\rangle$$

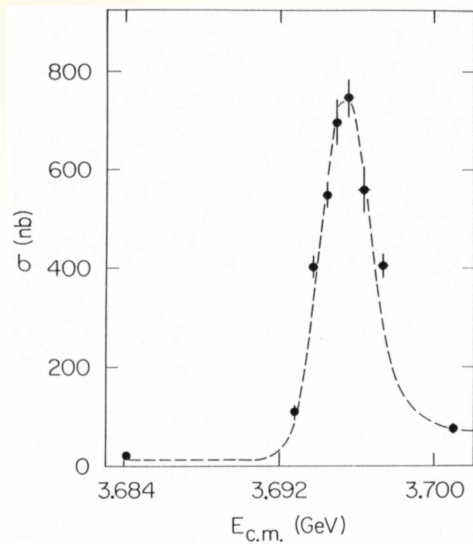
# Das $c$ -Quark

- Charmonium besteht aus einem neuen Quark, dem  **$c$ -Quark**, und seinem Anti-Teilchen.
- Einführung der neuen Quantenzahl **charm**  $C$ , das  $c$ -Quark erhält  $C = 1$
- Übergang zur Symmetriegruppe  $SU(4)$
- Deren Multipletts enthalten je eine  $I_3$ ,  $Y$  und  $C$ -Achse, ein fundamentales Multiplett ist ein Tetraeder mit  $uds$  wie gehabt in der  $I_3$ - $Y$ -Ebene und  $c$  bei  $C = 1$ ,  $I_3, Y = 0$
- Zur Ausreduktion von Produktzuständen zieht man besser raffiniertere Methoden der Gruppentheorie heran.

Die  $SU(4)$ -Symmetrie ist wegen der sehr großen Masse des  $c$ -Quarks recht stark gebrochen.

# Angeregte Zustände von Charmonium

- Neben dem Zustand  $J/\Psi(1S)$  existieren noch andere Anregungszustände mit verschiedenen Massen.
- Man kann für Charmonium ein Termschema analog zu den aus der Atomphysik bekannten angeben.
- Wenige Tage nach Entdeckung des  $J/\Psi(1S)$  wurde am Stanford Linear Accelerator Center (SLAC) eine weitere Resonanz gefunden, Schwerpunktsenergie  $E_{\text{cm}} = (3,695 \pm 0,004)\text{GeV}$ .



- Es gibt natürlich ebenfalls Mesonen und Baryonen mit charm, zum Beispiel

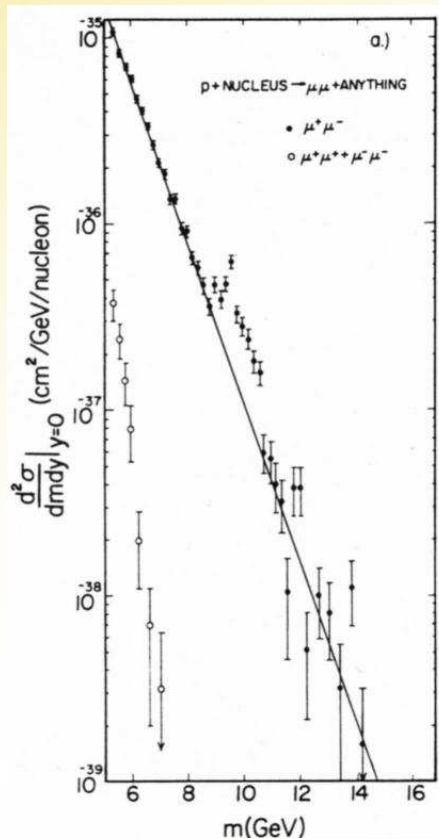
$$D^0 = |c\bar{u}\rangle$$

$$D^+ = |c\bar{d}\rangle$$

$$D_s^+ = |c\bar{s}\rangle$$

# Das $b$ -Quark

- 1977 am Fermilab in Chicago: Beschuss eines Kupfer-Blei-Targets mit Protonen.
- Dabei Entdeckung einer neuen Resonanz  $\Upsilon$



- Auf der Abbildung sind zwei oder mehr nicht aufgelöste Resonanzen zu sehen (Massen der heute bekannten  $\Upsilon$ -Resonanzen: 9,46 GeV, 10,02 GeV und 10,35 GeV)
- Deutung als gebundene Zustände eines neuen Quarks, dem **bottom-Quark**  $b$ :

$$|\Upsilon\rangle = |b\bar{b}\rangle$$

# Konsequenzen

- Einführung einer weiteren additiven Quantenzahl **bottomness** oder **beauty**  $B^*$ , die wie der charm von starker und elektromagnetischer Wechselwirkung erhalten wird.
- $b$ -Quark erhält  $B^* = -1$
- Man hat ebenfalls Mesonen und Baryonen, die das  $b$ -Quark enthalten, gefunden
- Verallgemeinerung der Gell-Mann-Nishijima-Relation zu

$$Q = e \left( I_3 + \frac{B + S + C + B^*}{2} \right)$$



# Schlusswort

- Es ist eine erstaunliche Tatsache, dass die Ordnung im Zoo der Elementarteilchen durch eine abstrakte mathematische Symmetriegruppe erreicht wird.
- Wie gesehen, ist die beschriebene Symmetrie recht stark gebrochen, besonders bei Einbeziehung der schwereren Quarks. Das Quarkmodell steht also eher auf einem wackligen Fundament.
- Allerdings stellt sich heraus, dass der  $SU(3)$ -Symmetrie fundamentale Bedeutung zukommt bei der Beschreibung der Farbladungen der starken Wechselwirkung.